

宁波市 2022 学年 第二学期 期末九校联考高二地理试题

选择题部分

一、选择题 I (本大题共 20 小题, 每小题 2 分, 共 40 分。每小题列出的四个备选项中只有一个是符合题目要求的, 不选、多选、错选均不得分)

2023 年 4 月 12 日, 受北方沙尘暴南下影响, 宁波空气质量进入轻度污染状态。本轮沙尘暴起源于蒙古国, 经高空输送越过防护林进入我国, 影响覆盖 20 余个省, 影响面积超 450 万平方公里。完成第 1 题。

1. 造成沙源地起沙的天气系统最有可能是

- A. 气旋
- B. 反气旋
- C. 冷锋
- D. 暖锋

教师在上班途中发现宁波某地春季采用绿色网膜覆盖在待更新的绿化带上, 右图为实地景观图。完成第 2 题。

2. 覆盖绿色网膜的主要目的是

- A. 阻挡太阳辐射
- B. 美化城市环境
- C. 减少水土流失
- D. 保持土壤温度



第 2 题图

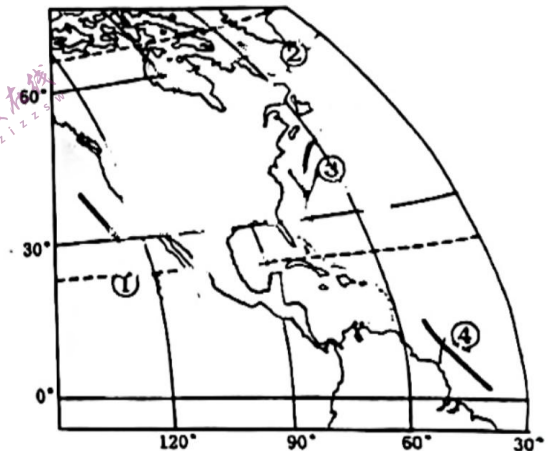
右图为世界局部区域洋流分布示意图, 完成 3、4 题。

3. 洋流

- A. ①③均是暖流
- B. ②④均是寒流
- C. ①是暖流, ③是寒流
- D. ②是寒流, ④是暖流

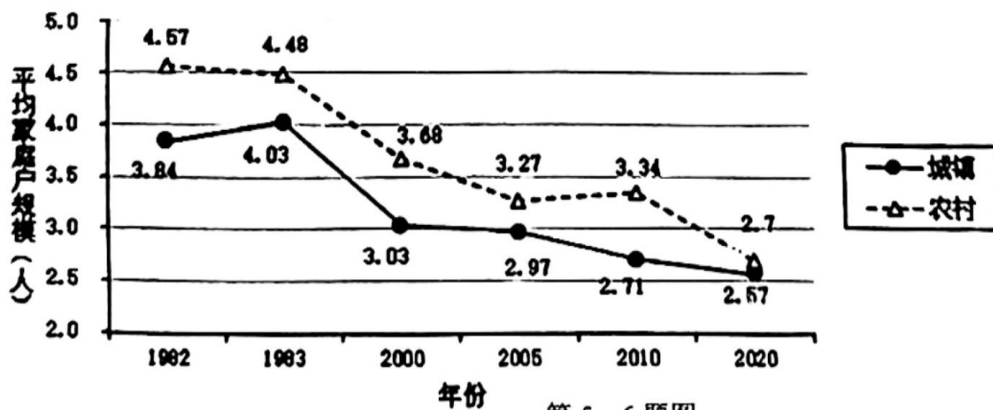
4. 受图示洋流影响

- A. ①沿岸地区降水增多
- B. ②周边海域出现浓雾
- C. ③附近海水温度升高
- D. ④周边海域存在渔场



第 3、4 题图

2020 年第七次全国人口普查(简称“七普”)数据显示, 中国平均家庭户规模为 2.62 人, 相较于 2010 年第六次全国人口普查时的 3.10 人减少了 0.48 人。“七普”将“家庭户”定义为以家庭成员关系为主、居住一处共同生活的人组成的户。完成 5、6 题。



第 5、6 题图

5. 关于家庭户规模变化趋势, 说法正确的是

- ①城镇家庭户规模收缩趋势更为明显
- ③中国家庭户规模呈现大型化发展趋势

- A. ①②
- B. ②③

- ②农村平均家庭户规模一直大于城镇
- ④中国家庭户规模呈现小型化发展趋势

- C. ②④
- D. ③④

5. 1982年-2020年家庭户规模变化的原因是

- ①家庭观念转变
- ②住房条件改善
- ③人口流动日益频繁
- ④计划生育政策调整

- A. ①②③
- B. ①②④

- C. ①③④
- D. ②③④

农业虚拟水是指在农业生产产品和服务过程中所需要的水资源数量, 即凝结在产品和服务中的水资源量。完成7、8题。

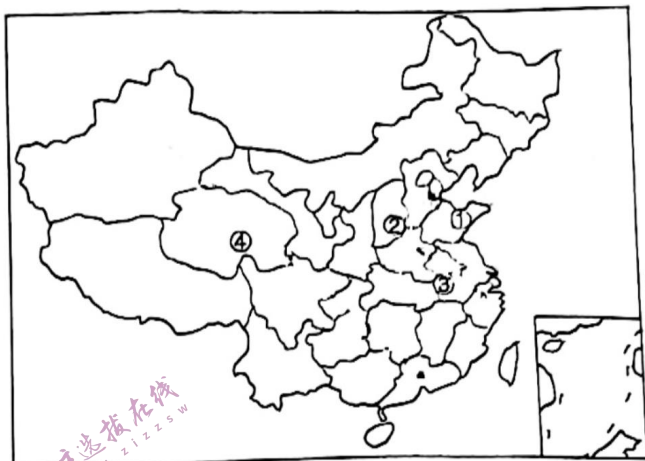
7. 能够正确反映我国虚拟水流动路径的是

- A. ①②
- B. ①③

- C. ③④
- D. ②④

8. 造成我国虚拟水流动南北差异的因素是

- A. 年降水量
- B. 土壤类型



第7、8题图

- C. 热量条件
- D. 耕地面积

在全屋整装定制趋势下, 传统实木家具行业向实木整装转型, 库存模式向订单模式转变。某全屋定制公司运用的有限度客制是解决转型难点问题的重要途径。有限度客制就是将用户需求与实木制造工艺结合起来, 以“用户”要素来反映用户需求, 同时“工匠”要素强调材料及其工艺的优势。图为有限度客制化示意图。完成9、10题。

9. 库存模式转为订单模式过程中出现的问题不包括

- A. 生产周期变长
- B. 生产成本扩大

- C. 交货效率降低
- D. 产品品质下降

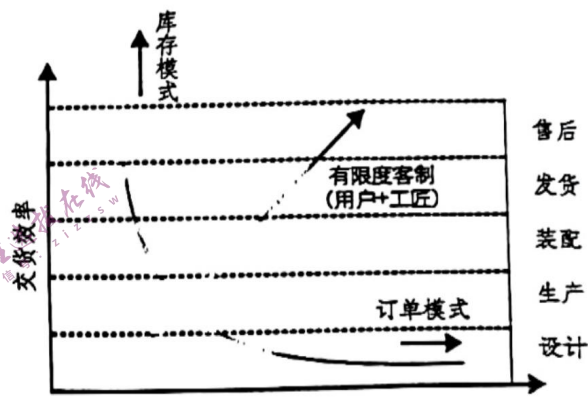
10. 该公司选择有限度客制的主要目的是

- A. 提高自身品牌知名度

- B. 注重意向客户体验感

- C. 实现经济效益最大化

- D. 展示生产工艺技术高



客制化程度
第9、10题图

都江堰坐落在成都平原西部的岷江上, 该工程由分水鱼嘴、飞沙堰、宝瓶口等部分组成, 内外江水量四六分水, 水位较低时, 60%的江水流入内江, 当水位较高, 大部分江水从外江排走。两千多年来一直发挥着防洪灌溉的作用, 使成都平原成为水旱从人、沃野千里的“天府之国”。图为都江堰水利工程示意图。完成11、12题。

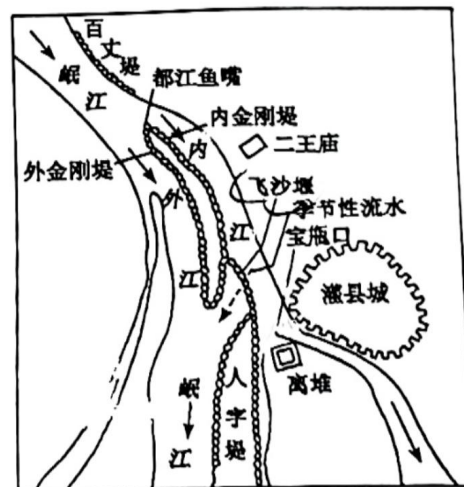
11. 与外江相比, 推测内江的河道特征

- A. 窄而深

- B. 窄而浅

- C. 宽而浅

- D. 宽而深



第11、12题图

12. 在都江堰水利工程中，飞沙堰的主要作用

- A. 调节径流 B. 连接大坝 C. 拦沙蓄水 D. 泄洪排沙

下表为我国某研究所发布的长三角城市群内水域、裸地、耕地、湿地四种土地利用类型的单位面积生态服务价值当量，数值越大表示生态服务价值越高。2000-2020年长三角城市群水文调节服务价值上升719亿元。完成13、14题。

土地利用类型 \ 生态服务功能	①	②	③	④
气体调节	631	1080	438	11
气候调节	324	2046	1301	0
净化环境	97	2046	3154	57
水文调节	2315	20621	87009	26

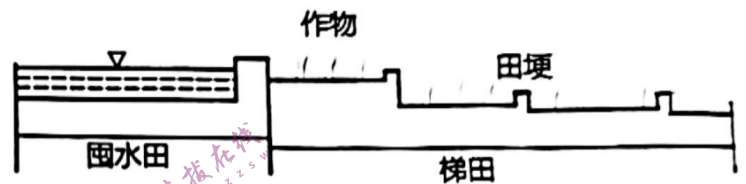
13. 表中①至④依次是

- A. 水域 耕地 湿地 裸地 B. 耕地 水域 湿地 裸地
C. 耕地 湿地 水域 裸地 D. 湿地 裸地 水域 耕地

14. 2000-2020年长三角城市群水文调节服务价值上升的主要原因是

- A. 城市用地规模扩张 B. 耕地面积逐步上升
C. 水域湿地面积增加 D. 降水总量波动上升

为适应特殊的地理环境，巴渝地区在山地开垦了大量梯田，并逐渐形成了以“囤水田”为核心的梯田水利系统（见右图）——即利用梯田高处的天然洼地进行蓄水，并配合田埂的打开与关闭来进行放水与关水，形成天然的排蓄灌溉系统。完成15、16题



第15、16题图

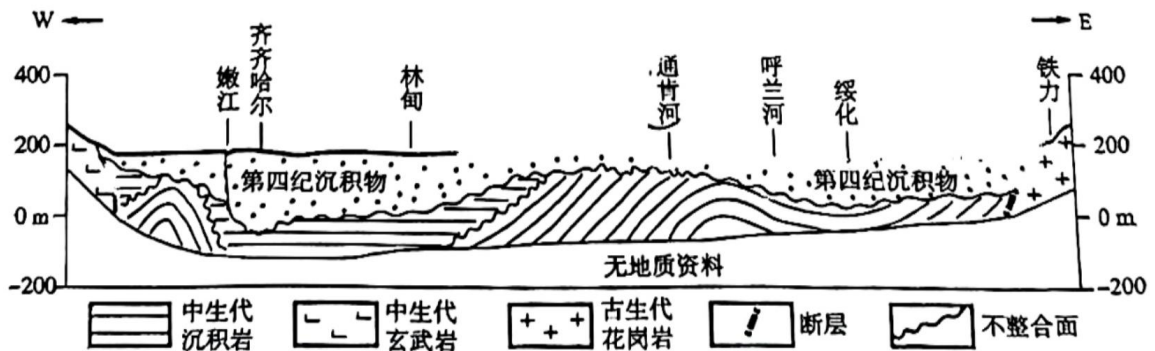
15. 推测囤水田放水的时间是

- A. 12月、1月 B. 3月、4月 C. 6月、7月 D. 9月、10月

16. 巴渝地区种植业发展的限制性条件是

- ①热量不足 ②地形起伏大 ③光照时间少 ④降水季节变化大
A. ①②③ B. ①②④ C. ①③④ D. ②③④

下图为松嫩平原地质剖面图。读图，完成17、18题。



第17、18题图

注：不整合面是指曾经沉积区遭受区域抬升后，发生沉积间断-剥蚀，后期又沉降发生沉积的作用

17. 上图中

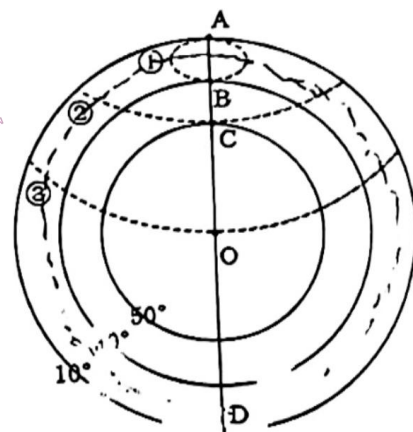
- A. 铁力处花岗岩形成年代最新
- B. 剖面线西端的岩层为喷出岩
- C. 绥化与呼兰河间有不整合面
- D. 嫩江处第四纪沉积物厚 300 米

18. 通肯河处地层形成的主要地质过程是

- A. 古生代岩浆侵入——中生代沉积——抬升侵蚀——挤压褶皱
- B. 中生代沉积——抬升侵蚀——下沉第四纪沉积——岩浆喷出
- C. 中生代沉积——挤压褶皱——抬升侵蚀——下沉第四纪沉积
- D. 古生代岩浆侵入——抬升侵蚀——中生代沉积——下沉第四纪沉积

右图为某日北京时间 19:00 的昼半球等太阳高度线局部示意图

图，虚线①、②、③为北半球纬线，AD 为经线圈的一部分。读图，完成 19、20 题。



第 19、20 题图

19. 太阳直射点的地理坐标为

- A. 10° N, 15° E
- B. 20° N, 15° E
- C. 20° N, 165° W
- D. 10° N, 165° W

20. 关于图中各点 叙述正确的是

- A. 此时 A 点与 O 点地方时相同
- B. 该日昏线过 C 点时为西北-东南走向
- C. 该日 A、B、C、O 三点昼长依次减少
- D. C 点的正午太阳高度角年变化幅度最大

二、选择题 II (本大题共 5 小题，每小题 3 分，共 15 分。每小题列出的四个备选项中只有一个是符合题目要求的，不选、多选、错选均不得分)

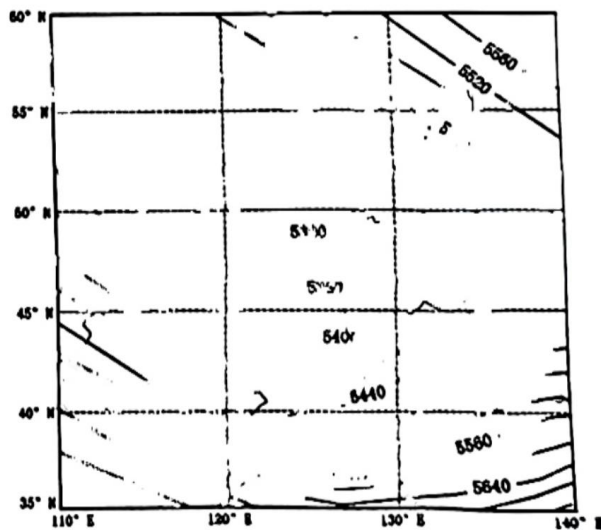
2022 年第 12 号东北冷涡已于 5 月 27 日夜间接形成，30 日向东南方向移动，强度稍有减弱。东北冷涡是多发于我国东北地区的，从地面到 6000 米上空的一个冷性气柱，这个冷性气柱不断旋转。冷涡中的空气处于上冷下暖的不稳定状态。图为 5 月 29 日的 500 百帕等压面的高度分布。完成 21、22 题。

21. 图示地区高空此时的气压状况和水平气流运动状况为

- A. 高空气压为低压中心，气流呈逆时针辐合旋转
- B. 高空气压为高压中心，气流呈顺时针辐合旋转
- C. 高空气压为低压中心，气流呈逆时针辐散旋转
- D. 高空气压为高压中心，气流呈顺时针辐散旋转

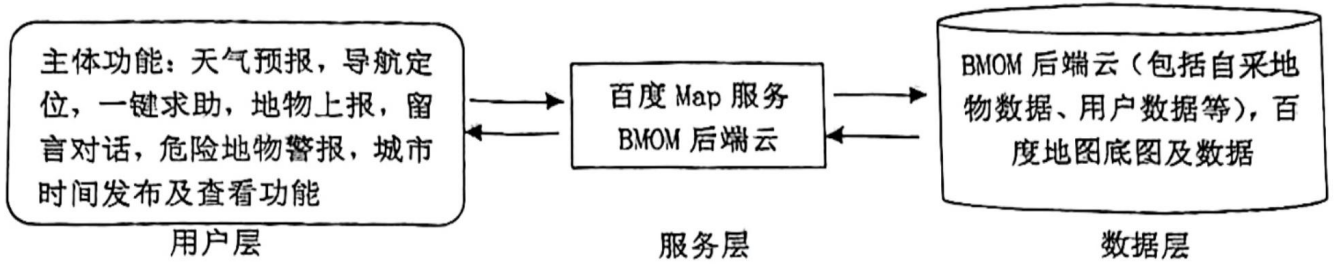
22. 这次受东北冷涡的影响，不可能出现的天气是

- A. 北方地区雷暴天气
- B. 华北局部极端大风
- C. 东北有强对流天气
- D. 长江下游出现梅雨



第 21、22 题图

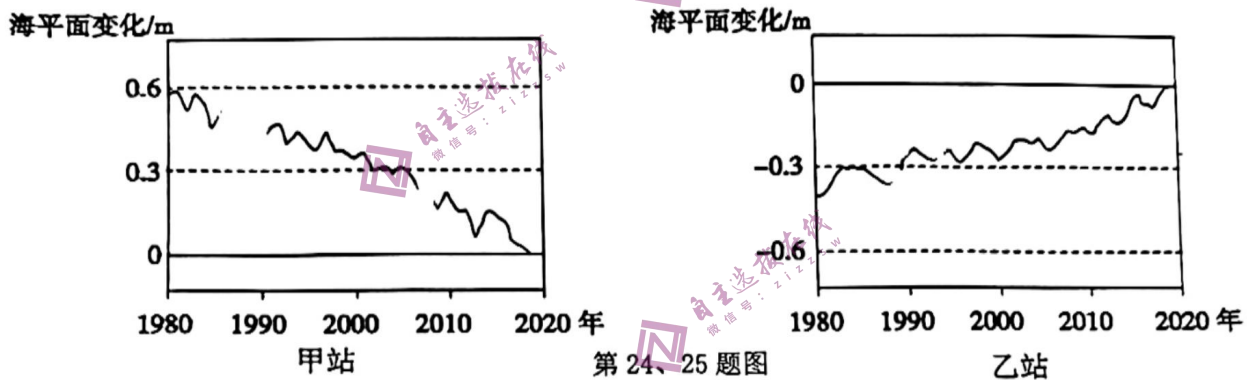
随着中国老龄化程度逐渐加深，众多老年人的出行安全与监护问题成为社会关注的焦点。下图为某公司开发的老年人智慧出行 app 系统框架。完成第 23 题。



23. 老年人智慧出行系统进行危险地物警报时所运用到地理信息技术为

- A. RS 和 GIS B. RS 和 GNSS C. GIS 和 GNSS D. GNSS、RS 和 GIS

最新研究表明，冰盖消融形成的消融区内，冰盖重力导致的岩层形变缓慢恢复，持续影响着该范围的海岸线位置。距今约 1.8 万年，北美冰盖开始消融，形成广大消融区。下图显示甲（位于太平洋北岸阿拉斯加的基岩海岸区）、乙（位于墨西哥湾密西西比河的河口三角洲）两站监测的海平面的相对变化。海平面的相对变化是陆面和海平面共同变化的结果。完成 24、25 题。



24. 分别指出冰盖消融导致的海平面、消融区陆面的垂直变化

- A. 上升 下降 B. 下降 上升
C. 上升 上升 D. 下降 下降

25. 关于甲站区域与乙站区域海岸线水平变化的方向和幅度，下列说法正确的是

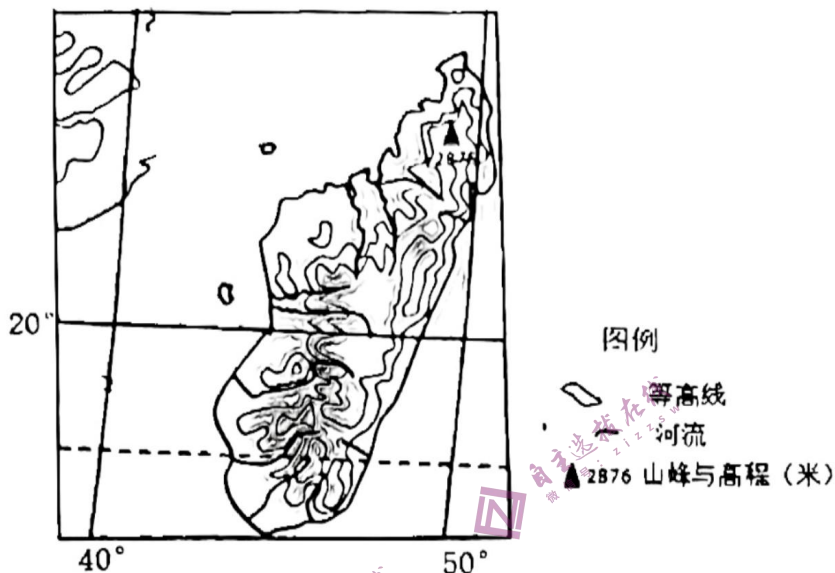
- A. 甲站区域海岸线向南移动，在水平方向上变化幅度较小
B. 甲站区域海岸线向北移动，在水平方向上变化幅度较大
C. 乙站区域海岸线向南移动，在水平方向上变化幅度较大
D. 乙站区域海岸线向北移动，在水平方向上变化幅度较小

非选择题部分

三、非选择题（本大题共3小题，共45分。）

26. 阅读材料，完成下列问题。（13分）

材料一：下图为马达加斯加地形图。



材料二：非洲大陆东南部的马达加斯加素以生物多样性著称，这个国家具有与世隔绝的环境，孕育了许多独特的动植物与海洋生物，拥有约20多万种动植物，其中许多都是马达加斯加所独有的。马达加斯加拥有丰富的水能资源，但仅有3%得到开发且主要以小型水电站为主。

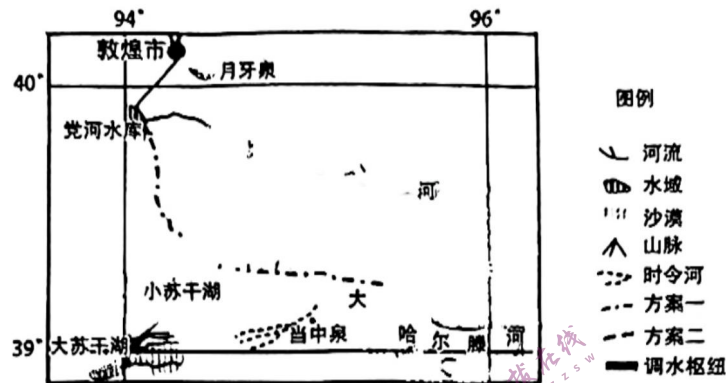
材料三：马达加斯加经济落后，属最不发达国家之一。旅游业是马达加斯加重要支柱产业，在政府系列支持政策拉动下，2019年全年来马外国游客总数达37.8万人次，超出历史纪录。

- (1) 从自然地理环境的差异性角度，简述马达加斯加生物多样性丰富的原因。（4分）
- (2) 说明马达加斯加水电开发程度较低、规模小的原因。（4分）
- (3) 评价马达加斯加旅游业发展区位条件。（4分）

27. 阅读材料，完成下列问题。(13分)

材料一：种子是农业的“芯片”，是保障国家粮食安全的重要基础。甘肃已成为全国最大的玉米制种基地，培育了敦煌种业等全国龙头企业。

材料二：图为引哈济党工程示意图，表为两种方案输水线路比较。



第 27 题图

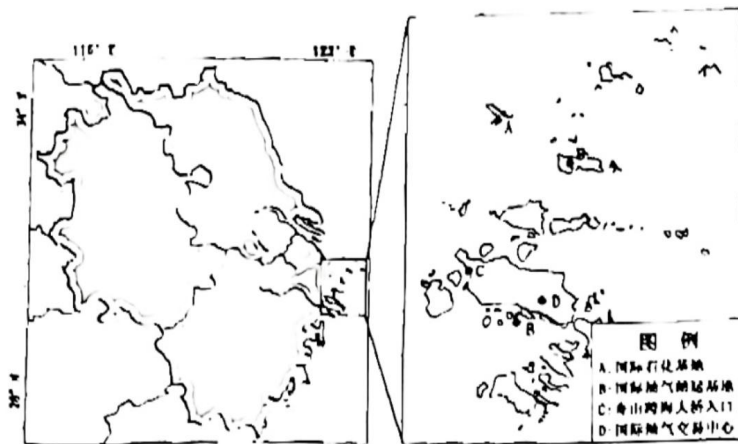
项目	方案一	方案二
线路总长度 (km)	196.35	33.48
隧洞总长度 (km)	31.04	32.61
地质构造	6 条区域断层 1 条区域性活断层	17 条区域断层 4 条区域性活断层
输水损失	损失水量: 588 万 m ³	损失水量: 2179 万 m ³
生态敏感区减缓程度	靠近小苏干湖 可就近设置应急补水设施	远离苏干湖 无法设置应急补水设施

材料三：引哈济党调水工程是实现敦煌地区水资源优化配置的国家重大水利工程。工程拟从苏干湖流域的大哈尔腾河调水至敦煌的党河流域，从而改善敦煌盆地生态环境。根据调研，方案一为该工程的推荐调水线路方案。该工程地处高寒高海拔地区，气候条件恶劣，线路上有区域性洪水。该工程调水成本 32.8 元/m³，国内重大调水工程的成本在 14.4 元/m³至 37.1 元/m³之间，处于国内调水工程的较高水平位置。

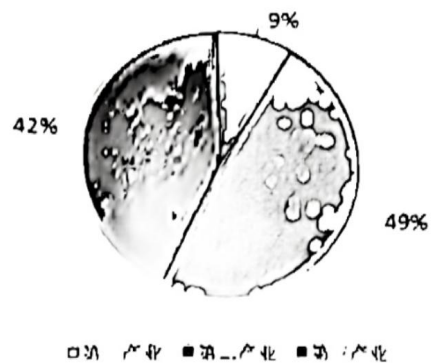
- (1) 从气候角度，简述甘肃省发展玉米制种业的优势。(3分)
- (2) 与方案二相比，评价调水工程方案一的开发条件。(4分)
- (3) 与国内其他调水工程相比，分析引哈济党调水工程调水成本高的原因。(6分)

28. 阅读材料，完成下列问题。(20分)

材料一：图1为中国(浙江)自由贸易试验区地理位置及其发展规划示意图，图2为舟山2022年产业结构图。



28题图1



28题图2

材料二：舟山拥有 2085 个岛屿和 270 多公里深水岸线，凭借独特的环境优势成为全国最大的海水产品生产、加工、销售基地。2022 年宁波舟山港完成年货物吞吐量超 12.5 亿吨，连续 14 年位居全球第一。

材料三：2017 年，中国(浙江)自由贸易试验区在舟山挂牌成立。全国最大的浙石化炼化一体化项目全面投产，实现原油加工量 3702 万吨，产值 2297.8 亿元；油气储运规模达 3267 万吨；油气交易额突破 1200 亿元；实现海事服务总产出 410 亿元，保税燃料油加注量突破 600 万吨，跃居全球第五大加油港。

- (1) 简述舟山群岛渔业资源丰富的自然原因。(3分)
- (2) 从地理位置角度，分析宁波舟山港成为天然良港的区位条件。(6分)
- (3) 概括舟山地区产业结构的特点。从产业链角度，指出舟山可以发展哪些油气产业。(6分)
- (4) 政府明确舟山国家石油储备基地规模时考虑了诸多因素，请列出这些因素。(5分)

命题：象山中学 朱炳丞
审题：北仑中学 陈琦伦